

برآورد بهینه دقت مشاهدات در شبکه‌های کلاسیک جابه‌جاسنجی

سعید فرزانه^{۱*} و کمال پروازی^۲

۱. استادیار، دانشکده مهندسی نقشه‌برداری و اطلاعات مکانی، پردیس دانشکده‌های فنی، دانشگاه تهران، تهران، ایران
۲. دانشجوی دکتری، دانشکده مهندسی نقشه‌برداری و اطلاعات مکانی، پردیس دانشکده‌های فنی، دانشگاه تهران، تهران، ایران

(دریافت: ۹۷/۸/۲۱، پذیرش نهایی: ۹۸/۲/۲۴)

چکیده

روش برآورد مؤلفه‌های واریانس کمترین مربعات زمانی که تنوع مشاهداتی در شبکه وجود داشته باشد کارایی خوبی از خود نشان می‌دهد. با استفاده از این روش برای هر دسته از مشاهدات مختلف یک ضریب مقایس محاسبه می‌شود. در این تحقیق از روش وزن‌دهی برآورد مؤلفه‌های واریانس کمترین مربعات استفاده شده است. این بهبود دقت برای مختصات نقاط شبکه بهنخواه است که مقدار نیم قطر بزرگ بیضی خطای مطلق نقاط در حالت استفاده از برآورد مؤلفه‌های واریانس کمترین مربعات برابر ۲۹ میلی‌متر، در حالی که با استفاده از روش فاکتور وریانس ثانویه این مقدار به دو برابر افزایش می‌یابد. علاوه بر این در هنگام استفاده از روش برآورد مؤلفه‌های واریانس کمترین مربعات اثر ماتریس کوواریانس مجهولات برابر $1/8$ میلی‌متر می‌باشد که نسبت به روش فاکتور وریانس ثانویه مقدار آن به اندازه دو برابر کاهش می‌یابد. در واقع مزیت روش برآورد مؤلفه‌های واریانس کمترین مربعات برآورد واقع‌بینانه‌ای از دقت پارامترهای مدل و ابعاد بیضی خطای مطلق می‌باشد.

واژه‌های کلیدی: برآورد مؤلفه‌های واریانس کمترین مربعات، فاکتور وریانس ثانویه، شبکه‌های ژئودتیک، عدد آزادی.

۱. مقدمه

بدنه سد قرار می‌دهند مثل تیلت مترها و... انجام می‌شود. نکته‌ای که در شبکه‌های میکروژئودزی سدها می‌باشد به آن توجه داشت، استفاده از دستگاه‌هایی است که بتواند با توجه به محدودیت‌هایی که شبکه‌های سد دارند، مانند نبود فضای کافی در پشت سد برای احداث پیلارها یا به عبارتی طراحی بهینه شبکه، احتمال نبود دید کافی از هر پیلار به تمامی نقاط موضوعی، بتوان نتایج حاصل از محاسبات سرشکنی، مانند مؤلفه‌های مختصاتی نقاط، جابه‌جایی‌های رخ داده در فاصله زمانی اپک‌ها را با دقت استاندارد برآورد کرد. به عبارتی دیگر دستگاه‌های اندازه‌گیری باید مشاهدات را با دقتی انجام دهنده که بتواند به دقت موردنیاز برای نتایج محاسبات سرشکنی دست پیدا کنیم. دستگاه معمول استفاده برای اندازه‌گیری مشاهدات طول و زاویه در ایران دستگاه (Leica Total Station TCA2003) با دقت $1mm + 1ppm$ می‌باشد.

سدها از جمله سازه‌های مهمی می‌باشند که مراقبت و ایمن‌سازی آنها از اهمیت بالایی برخوردار می‌باشد. سازه‌های سدها جهت جلوگیری از جریان آب رودخانه به منظور بهره‌برداری از آب ذخیره شده پشت سد برای نیروی برق و... طراحی شده‌اند. از این رو نیروی بسیار زیادی از طرف دریاچه پشت سد به بدنه سد وارد می‌شود که باعث جابه‌جایی در بدنه سد می‌شود. این جابه‌جایی ممکن است باعث تخریب سد شود. برای بررسی رفتار سدها و محاسبه جابه‌جایی‌های به وجود آمده معمولاً شبکه‌های میکروژئودزی در پشت، بدنه و تاج سد ایجاد می‌کنند. با توجه به نوع سد، جنس خاک و منطقه، ویژگی‌های سد از جمله ارتفاع، طول، مدت زمان سپری شده از ساخت سد و حجم آب موجود در کاسه سد، شبکه‌هایی طراحی می‌شود و بر روی این شبکه‌ها به صورت دوره‌ای مشاهدات انجام می‌شود. مشاهدات معمولاً با دستگاه‌های اندازه‌گیری مانند گیرنده‌های GPS، دوربین‌های توتال استیشن و یا برخی حس‌گرهایی که در

مشخص کرد.

یکی از مهم‌ترین مشکلات پیش رو در تجزیه و تحلیل یک شبکه ژئودتیکی، انتخاب ماتریس وزن مشاهدات است. برای ارزیابی بهینه شبکه مشاهده شده نیاز به یک ماتریس کواریانس واقع‌یینانه می‌باشد. برآورد مؤلفه‌های وریانس (ماتریس وزن) توسط هلمرت (۱۹۰۷) توسعه داده شد و از روش‌های مختلفی برای این برآورد استفاده کرده است (گرافارند و همکاران، ۱۹۸۰؛ لرج، ۱۹۹۱). هدف از برآورد مؤلفه‌های وریانس، به دست آوردن این مؤلفه‌ها به صورت واقع‌یینانه و قابل اطمینان به منظور ساخت ماتریس کواریانس مشاهدات می‌باشد. تکنیک آنالیز برآورد مؤلفه‌های وریانس توسط گرافارند و همکاران مورد استفاده و ارزیابی قرار گرفت است که در آن مشاهدات را به دو دسته مناسب تقسیم‌بندی کرد. در نظر گرفتن این گروه‌ها می‌تواند به صورت ناهمگن نیز انجام گیرد. این دو تقسیم‌بندی می‌تواند به صورت ناهمگن (تقسیم‌بندی ناهمگن) یا تقسیم‌بندی همگن (اندازه‌گیری فاصله توسط ابزارهای مختلف) باشد. این روش منجر به مجموعه‌ای از معادلات خطی متقارن می‌شود.

پردازش اطلاعات در کاربردهای ژئودتیکی عموماً وابسته به روش کمترین مربعات می‌باشد که در این روش برای داده‌ها وزن انتخاب می‌شود به این جهت که درجه اهمیت هر داده مشخص شود. در کارهای ژئودتیکی دقت به دست آمدن مشاهدات مختلف با هم متمایز می‌باشد و لذا وارد کردن وزن برای این داده‌ها امری ضروری است تا بتوان از این طریق، داده‌های دقیق‌تر را در حل مسئله سهیم‌تر کرد. لذا ماتریس وزن داده‌ها معکوس ماتریس کواریانس آنها انتخاب می‌شود. از این رو بهترین برآورد نارب بخطی (BLUE) به دست خواهد آمد. دانستن ماتریس کواریانس صحیح بردار مشاهدات برای کاربردهای زیادی مورد نیاز است. چنین اطلاعاتی کمک می‌کند تا بتوان فاکتورهای توصیفی مختلفی از خطاهای مشاهداتی را مورد مطالعه قرار داد. همچنین جهت به دست

به طور کلی یک شبکه ژئودتیک بهینه، شبکه‌ای با دقت و قابلیت اطمینان بالا می‌باشد. کوانگ (۱۹۹۱ و ۱۹۹۶) وزن و شکل بهینه‌ای را برای شبکه، با الگوریتم‌های بهینه‌سازی مختلفی به دست آورد. در این روش بهترین شکل برای شبکه و همچنین رسیدن به دقت بالا برای مشاهدات به صورت هم‌زمان طراحی شده بود (کخ ۱۹۸۵). ماتریس معیار دقت را معرفی کردنده به این صورت که این ماتریس نماینده ماتریس واریانس-کواریانس ایده‌آل برای یک شبکه ژئودتیک می‌باشد. از آنجایی که این ماتریس یک وضعیت ایده‌آل را نشان می‌دهد حتماً نباید ماتریس واریانس کواریانس شبکه معادل این ماتریس معیار باشد. این ماتریس هم بر اساس مفاهیم نظری مانند تیلو-کارمن، ماتریس وزنی که توسط گرافارند (۱۹۷۴) ارائه شده و هم بر اساس مطالعات تجربی که توسط کراس (۱۹۸۵) ارائه شده است. از طرفی یک شبکه بهینه باید توانایی تشخیص خطاهای فاحش در مشاهدات و به حداقل رساندن اثر خطاهای کشف نشده در نتایج را داشته باشد (فان، ۱۹۶۸). باردا (۲۰۱۰) یک تست کلی برای تشخیص مشاهدات اشتباه و معرفی قابلیت اطمینان ارائه کرده است. معیار قابلیت اطمینان برای طراحی بهینه یک شبکه مورد نیاز می‌باشد. امیری سیمکویی (۲۰۰۱) و (۲۰۰۴) طراحی مرتبه اول شبکه ژئودتیک و رسیدن به ماکریم قابلیت اطمینان را ارائه کردن. در این تحقیق با یکسان بودن عدد آزادی برای تمام مشاهدات وزن مشاهدات نیز بهبوده داده شده بود. از طرفی تأثیر مشاهداتی با قابلیت اطمینان پایین در مانیتور کردن جایه‌جایی شبکه نیز مورد بررسی قرار گرفت. امیری سیمکوئی و همکاران (۲۰۱۲) برخی از مفاهیم اساسی مربوط به بهینه‌سازی و طراحی شبکه‌های ژئودتیکی را ارائه کردن. یتکین و اینال (۲۰۱۵) یک روشی بر اساس Shuffled frog-leaping algorithm (BFAL) برای مانیتور کردن شبکه ژئودتیک ارائه کردنده که بر اساس آن می‌توان موقعیت بهینه نقاط مرجع را برای رسیدن به حداقل قابلیت اطمینان

موارد زیر اشاره کرد:

- بررسی شبکه مثلث‌بندی و سه پهلومندی ژئودتیکی برای کنترل مشاهدات مربوط به فعالیت‌های تکتونیکی با ابزارهای مختلف الکترونیکی برای اندازه‌گیری‌های فاصله و تئودولیت‌ها و برآورد مؤلفه‌های خطأ و مشاهدات وزن دار GPS (چن و همکاران، ۱۹۹۰).

- بررسی ویژگی‌های نوافه در سری‌های زمانی مختصات روزانه استگاه‌های GPS (زهانگ و همکاران، ۱۹۹۷؛ ویلیامز و همکاران، ۲۰۰۴؛ امیری سیمکویی و همکاران، ۲۰۰۶).

- بررسی مدل آماری فاصله‌یابی لیزری ماهواره و داده‌های VLBI (لوکاس و دیلینجر، ۱۹۹۸).

- مطالعه وابستگی دقت مشاهدات ارتفاع GPS (جين و جونگ، ۱۹۹۶).

- تخمین یک مدل آماری برای پردازش داده‌های فاز و کد GPS که همبستگی زمانی یا همبستگی مکانی مشاهدات GPS را ادغام می‌کند (امیری سیمکویی و همکاران، ۲۰۰۷).

در این تحقیق از روش وزن‌دهی برآورد مؤلفه‌های وریانس کمترین‌مربعات برای بهبود دقت نتایج حاصل از سرشکنی استفاده شده است.

نتایج حاصل از سرشکنی در دو حالت استفاده از روش برآورد مؤلفه‌های وریانس کمترین‌مربعات و استفاده از فاکتور وریانس ثانویه ارائه شده است. تأثیر برآورد مؤلفه‌های وریانس بر روی دقت نهایی مشاهدات، برآورد یکی خطا مطلق، بررسی شرایط لازم در یک شبکه برای رسیدن به دقت بالاتر و تأثیر آن در بهدست آوردن نتایج واقع‌بینانه از ماتریس قابلیت‌اطمینان ارائه شده است. تمام نتایج در دو حالت استفاده از روش برآورد مؤلفه‌های وریانس کمترین‌مربعات و استفاده از روش فاکتور وریانس ثانویه با هم مقایسه شده است. مزیت روش برآورد مؤلفه‌های وریانس کمترین‌مربعات در این تحقیق به این صورت می‌باشد که با بهدست آوردن پارامترهای وریانس طول و امتداد، برآورد واقع‌بینانه‌ای از دقت

آوردن دقت توابع مورد نظر با استفاده از قانون انتشار کووریانس و نیز بهدست آوردن برآورد کننده کمترین وریانس پارامترهای مدل خطی را مورد استفاده قرار می‌دهد. استفاده از ماتریس کووریانس صحیح در حل مسئله باعث می‌شود تا تست‌های پس از سرشکنی به طور مناسبی انجام شوند و سایر اندازه‌گیری‌های کنترل کیفیت نظیر میزان اعتمادپذیری به درستی ارزیابی شوند.

جهت بهدست آوردن یک برآورد کننده درست نیاز به یک مدل تابعی یا تصادفی مناسب است. اطلاع ناکامل و نادرست از ماتریس کووریانس مشاهدات در مسائل زیادی اتفاق می‌افتد. از آنجا که اغلب بخشی از ماتریس کووریانس مشاهدات معلوم است در نتیجه لازم است که بخش مجهول از روی مشاهدات اضافی بهدست آید. برآورد این پارامترهای مجهول از ماتریس کووریانس به برآورد مؤلفه وریانس (VCE) برمی‌شود. روش‌های برآورد مؤلفه‌های وریانس به طور گسترده مورد تحقیق و بررسی قرار گرفته است، که در ادامه به برخی از آنها اشاره شده است. روش‌های زیادی نیز برای برآورد مؤلفه وریانس وجود دارند که به سه دسته عمده تقسیم‌بندی می‌شوند:

الف- روش‌هایی که در آنها از مدل تابعی استفاده می‌شود، مانند مدل گوس-مارکوف، مدل شرطی و مدل گوس هلمرت.

ب- روش‌هایی که در آنها از مدل تصادفی استفاده می‌شود، مانند روش قطعی (block diagonal) و روش ساختار قطعه‌ای (block structure).

ج- روش‌های ساده و دقیق مانند روش (MIQUE, Minimum norm quadratic unbiased estimator BIQUE, Best Invariant Quadratic Unbiased Estimator MILE, Maximum Estimator)، روش هلمرت، روش (Likelihood Estimators منقی و روش کمترین‌مربعات.

از جمله کاربردهایی که در آن روش‌های مختلف برآورد مؤلفه‌های وریانس را به کار گرفته شده است می‌توان به

همچنین در این رابطه می‌توان به جای استفاده از میانگین، از میانه و یا هر مقدار پایدار دیگری استفاده کرد (کرن و همکاران، ۲۰۰۵).

اگر این محاسبات برای قسمت کوچکتری از داده‌ها محدود، در پنجه‌ای با بعد m بازنویسی شود، آنگاه محدوده اشتباهات برای آن‌ها عبارت است از:

$$\text{out}(\alpha, \bar{y}_m, \bar{s}_m, m) = \left\{ i=1,2,\dots,m : \left| \bar{y}_i - \bar{y}_m \right| > z_{1-\frac{\alpha}{2}} s_m \right\} \quad (2)$$

که در آن $\text{out}(\alpha, \bar{y}_m, \bar{s}_m, m)$ محدوده اشتباهات، $\bar{s}_m = \left\{ \bar{y}_1, \bar{y}_2, \dots, \bar{y}_m \right\}$ مشاهدات بردار $\bar{y}_m, y \in R^n$ و به ترتیب برآوردهایی از میانگین و انحراف معیار m داده مذکور می‌باشد.

اگر $y_i \in \text{out}(\alpha, \bar{y}_m, \bar{s}_m, m)$ ، آنگاه y_i به عنوان مشاهده اشتباه شناخته می‌شود. بعد از اعمال روش آستانه‌گذاری برای این مجموعه کوچک از داده‌ها، پنجه مذکور به اندازه یک مشاهده به سمت جلو حرکت کرده و محاسبات برای مجموعه جدید یعنی، $\left\{ y_1, y_2, \dots, y_{m+1} \right\}$ تکرار می‌شود. حرکت این پنجه و انجام محاسبات، تا پایان مجموعه داده‌ها ادامه می‌یابد. حسن این روش، بار محاسباتی کم است.

۲-۱. برآورد مؤلفه واریانس کمترین مربعات

در این تحقیق روش LS-VCE یا روش برآورد مؤلفه واریانس با روش کمترین مربعات مورد استفاده قرار گرفت. LS-VCE نیز مانند مدل‌های زیاد دیگری برای مدل‌های خطی یا خطی شده به کار گرفته می‌شود، در این روش فرض می‌شود که ماتریس کوواریانس مشاهدات می‌تواند به صورت ترکیبی خطی از ماتریس‌های کوفاکتور در نظر گرفته شود. ضرایب این ترکیب خطی همان پارامترهای کوواریانس مجهول هستند که باید برآورد شوند.

برای این منظور سیستم معادلات مشاهدات زیر را در نظر بگیرید: (امیری سیمکویی، ۲۰۰۷؛ زو و همکاران، ۲۰۰۷؛

پارامترهای مدل و همچنین ابعاد بعضی خطای مطلق را ارائه می‌کند.

۲. روش تحقیق

یکی از مراحل مهم در آنالیز مشاهدات انجام شده، کشف مشاهدات اشتباهات می‌باشد. به گونه‌ای که این مشاهدات نسبت به دیگر مشاهدات موجود در مجموعه داده‌ها، ناسازگار می‌باشد. مشاهدات اشتباه در داده‌ها، منجر به بروز خطا در مدل، پیش‌بینی نادرست و نتایج نادرست خواهد شد. روش‌های متعددی برای بررسی اشتباهات وجود دارد که در اینجا از روش آستانه‌گذاری استفاده شده است. این روش، یک راه حل استاندارد برای کشف مشاهدات اشتباهات می‌باشد. برای این کار از یک حد آستانه ماکزیمم استفاده می‌شود (بارنت و لویس، ۱۹۷۴). این حد آستانه، معمولاً با ویژگی‌های خود داده‌ها، در ارتباط است. روش آستانه‌گذاری برای مشاهدات، یک توزیع معلوم در نظر می‌گیرد که این توزیع معمولاً، توزیع نرمال می‌باشد. بنابراین، اگر یک مجموعه داده به صورت $\left\{ y_1, y_2, \dots, y_n \right\}$ داشته باشیم، آنگاه روش آستانه‌گذاری با فرض توزیع نرمال (μ, σ^2) برای داده‌ها، به صورت زیر قابل تعریف است (امیری سیمکویی و همکاران، ۱۹۹۳؛ دیویس و گذر، ۲۰۱۴):

$$\text{out}(\alpha, \mu, \sigma) = \left\{ i=1,2,\dots,n : \left| y_i - \mu \right| > z_{1-\frac{\alpha}{2}} \sigma \right\} \quad (1)$$

که در آن $\text{out}(\alpha, \mu, \sigma)$ محدوده اشتباهات، μ و σ به ترتیب میانگین و انحراف معیار (مجهول) داده‌ها، $Z_{1-\frac{\alpha}{2}}$ مقدار بحرانی متناسب با سطح معنی دار $\alpha/2$ و مربوط به توزیع نرمال استاندارد، می‌باشد.

در واقع، این روش، متناسب با مقدار α مشاهداتی را که از توزیع (μ, σ^2) انحراف دارند، به عنوان مشاهده اشتباه شناسایی می‌کند. لازم به ذکر است که تعریف (1) نه فقط برای توزیع نرمال که برای هر توزیع متقاضی دیگری با تابع چگالی مثبت، قابل تعمیم است (بنگال و همکاران، ۲۰۰۵).

جواب برآورده گر کمترین مربعات وزن دار مدل (۳)، در صورتی که ماتریس وزن مشاهدات برابر با معکوس ماتریس کواریانس مشاهدات در نظر گرفته شود ($p = Q_y^{-1}$)، جواب بهترین برآورده نااریب خطی به صورت زیر خواهد بود.

$$\hat{x} = (A^T P A)^{-1} A^T P \underline{y} \quad (4)$$

با توجه به این که $E(y) = Ax$ پس از انجام یک سری عملیات ساده جبری در بخش مدل تصادفی رابطه (۳)، خواهیم داشت:

$$\begin{aligned} E\{(\underline{y} - Ax)(\underline{y} - Ax)^T\} &= \\ E\{\underline{y}\underline{y}^T - \underline{y}x^T A^T - Ax\underline{y}^T + Ax x^T A^T\} &= \\ E\{\underline{y}\underline{y}^T - Ax x^T A^T - Ax x^T A^T + Ax x^T A^T\} &= \\ E\{\underline{y}\underline{y}^T - Ax x^T A^T\} &= Q_0 + \sum_{k=1}^p \sigma_k Q_k \end{aligned} \quad (5)$$

با انتقال مجهولات به سمت چپ سیستم معادلات و انتقال معلومات به سمت راست معادله، رابطه (۵) را می‌توان به شکل زیر بازنویسی کرد:

$$E\{\underline{y}\underline{y}^T - Q_0\} = Ax x^T A^T + \sum_{k=1}^p \sigma_k Q_k \quad (6)$$

به عنوان مثال در این تحقیق جهت تشكیل ماتریس‌های کوفاکتور، Q_k ، با توجه به این که ماتریس وزن برای مجموع کل مشاهدات (۷۰ مشاهده) به صورت یک ماتریس مربعی قطری با ابعاد 70×70 می‌باشد، در ابتدا دو ماتریس قطری با ابعاد 70×70 برای هر کدام از انواع مختلف مشاهدات مورد استفاده (در اینجا طول و امتداد) ساخته می‌شود به طوری که برای مشاهدات طولی (۲۴ مشاهده) یک ماتریس قطری با ابعاد 24×24 در بالای ماتریس اصلی قرار می‌گیرد و برای مشاهدات امتدادی (۴۶ مشاهده) یک ماتریس قطری با ابعاد 46×46 در پایین ماتریس اصلی قرار می‌گیرد. فرم مربوط به دو ماتریس کوفاکتور در زیر ارائه می‌شود. که در آن Q_L ماتریس وزن مشاهدات طولی و Q_D ماتریس وزن مشاهدات امتدادی می‌باشد.

تیونیسن، (۱۹۸۸):

$$\begin{aligned} E(\underline{y}) &= Ax, D(\underline{y}) = Q_y = \\ E\{(\underline{y} - Ax)(\underline{y} - Ax)^T\} &= \\ Q_0 + \sum_{k=1}^p \sigma_k Q_k &end{aligned} \quad (3)$$

در این رابطه (۳)، E و D به ترتیب، عملگرهای اميد ریاضی و پراکندگی مشاهدات، A ماتریس طرح با ابعاد $m \times n$ است، x بردار مجهولات با بعد n y بردار مشاهدات با بعد m Q_0 قسمت معلوم ماتریس کواریانس مشاهدات با ابعاد $m \times m$ می‌باشد که برای سادگی روابط می‌توان برابر صفر در نظر گرفت (امیری سیمکویی، ۲۰۰۷) واریانس مجهول وزن واحد، Q_y ماتریس کواریانس مشاهدات با ابعاد $m \times m$ و $Q_k, k = 1, \dots, p$ ماتریس‌های معلوم کوفاکتور مدل می‌باشند با توجه به این که در این تحقیق مشاهدات مورد استفاده از جنس مشاهدات طول و مشاهدات امتدادی هستند مقدار p برابر دو در نظر گرفته شده است. ماتریس کواریانس Q_y یک ماتریس معین-مثبت در نظر گرفته شده و به صورت یک ترکیب خطی مجهول از ماتریس‌های کوفاکتور معلوم Q_k نمایش داده می‌شود.

این ماتریس‌های کوفاکتور، متقارن فرض شده به طوری که جمع سری در رابطه (۳)، یک ماتریس معین-مثبت شود. شرط لازم برای داشتن یک جواب منظم برای مدل تصادفی، این است که ماتریس‌های کوفاکتور، مستقل خطی باشند (امیری سیمکویی، ۲۰۰۷). در این تحقیق با توجه به این که مشاهدات مورد استفاده از جنس مشاهدات طول و مشاهدات امتدادی هستند، با توجه به دقت اولیه دستگاه مورد استفاده برای اندازه‌گیری و بر اساس قانون انتشار خطاهای برای هر کدام از مشاهدات دقت اولیه بدست می‌آید و بر اساس دقت بدست آمده ماتریس‌های Q_k تشكیل می‌شوند.

ماتریس کوفاکتور خواهد داشت.
با توجه به این که روش کمترین مربعات نسبت به تبدیلات نامنفرد، ناوردادست اگر بردار مشاهدات \underline{y} تحت تبدیل نامنفرد T به بردار مشاهدات جدید $\underline{y}' = T\underline{y}$ تبدیل شود، جواب کمترین مربعات تغییر نخواهد کرد. درواقع تبدیل نامنفرد، اطلاعاتی به مدل اضافه و یا کاسته نخواهد کرد. بهمنظور ساده‌تر شدن فرمول (۶) بردار مشاهدات \underline{y} تحت تبدیل نامنفرد به بردار جدید تبدیل خواهد شد.

$$\underline{y}' = T\underline{y} = \begin{bmatrix} (A^T Q_y^{-1} A)^{-1} A^T Q_y^{-1} \\ B^T \end{bmatrix} \underline{y} = \begin{bmatrix} (A^T Q_y^{-1} A)^{-1} A^T Q_y^{-1} \underline{y} \\ B^T \underline{y} \end{bmatrix} = \begin{bmatrix} \underline{x} \\ \underline{t} \end{bmatrix} \quad (8)$$

که در آن ماتریس B (ماتریس معادلات شرط)، ماتریسی با ابعاد $(m-n) \times m$ و دارای مرتبه کامل ستونی برابر $m-n$ می‌باشد.

همچنین این ماتریس در رابطه $B^T A = 0$ نیز صدق می‌کند. تحت تبدیل نامنفرد $\underline{y}' = T\underline{y}$ رابطه (۸) به‌شکل رابطه (۹) ارائه خواهد شد.

$$E(T\underline{y}\underline{y}^T T^T) = TAx x^T A^T T^T + TQ_y T^T \quad (9)$$

با جای‌گذاری رابطه (۸) در رابطه (۹) خواهیم داشت:

$$E\left(\begin{bmatrix} \underline{x}\underline{x}^T & \underline{x}\underline{t}^T \\ \underline{t}\underline{x}^T & \underline{t}\underline{t}^T \end{bmatrix}\right) = \begin{bmatrix} xx^T & 0 \\ 0 & 0 \end{bmatrix} + \begin{bmatrix} (A^T Q_y^{-1} A)^{-1} & 0 \\ 0 & B^T Q_y B \end{bmatrix} \quad (10)$$

در رابطه (۱۰)، $\underline{x} = (A^T Q_y^{-1} A)^{-1} A^T Q_y^{-1} \underline{y}$ و $\underline{t} = B^T \underline{y}$ بردار خطأ می‌باشد. رابطه (۱۰) شامل ۳ معادله زیر می‌باشد:

$$\begin{cases} E(\underline{x}\underline{x}^T) = xx^T + (A^T Q_y^{-1} A)^{-1} = xx^T + Q_{\underline{x}} \\ E(\underline{x}\underline{t}^T) = 0 \\ E(\underline{t}\underline{t}^T) = B^T Q_y B = Q_{\underline{t}} \end{cases} \quad (11)$$

در معادله اول از سیستم معادلات (۱۱) تعداد مشاهدات و مجهولات برابر بوده و در نتیجه درجه آزادی آن برابر صفر خواهد بود. بنابراین معادله هیچ‌گونه اطلاعات اضافه‌تری برای تعیین ماتریس Q_y در اختیار ما قرار نمی‌دهد و از مشاهدات \underline{x} تنها بهمنظور برآورد

$$Q_L = \begin{bmatrix} \delta_{l1}^2 & \cdots & 0 \\ \vdots & \ddots & \vdots \\ 0 & \cdots & \delta_{l24}^2 \end{bmatrix}_{24 \times 24}^{24 \times 24} \begin{bmatrix} 0 & \cdots & 0 \\ \vdots & \ddots & \vdots \\ 0 & \cdots & 0 \end{bmatrix}_{46 \times 46},$$

$$Q_D = \begin{bmatrix} 0 & \cdots & 0 \\ \vdots & \ddots & \vdots \\ 0 & \cdots & 0 \end{bmatrix}_{24 \times 24}^{24 \times 24} \begin{bmatrix} 0 & \cdots & 0 \\ \delta_{d1}^2 & \cdots & 0 \\ \vdots & \ddots & \vdots \\ 0 & \cdots & \delta_{d46}^2 \end{bmatrix}_{46 \times 46} \quad (7)$$

مدل ارائه شده در رابطه (۶)، شبیه مدل تابعی ارائه شده در رابطه (۳)، $E(\underline{y}) = Ax$ باشد. بنابراین مدل تابعی رابطه (۳) دارای بردار مشاهدات \underline{y} با بعد m می‌باشد. این در حالی است که مدل به‌دست آمده در رابطه (۶) دارای ماتریس مشاهدات \underline{y} با ابعاد $m \times m$ می‌باشد. به علاوه مدل (۶) دارای دو بردار مجهول x و $\sigma = [\sigma_1 \ \sigma_2 \ \dots \ \sigma_p]^T$ (حاوی مؤلفه‌های مجهول (کو)واریانس) می‌باشد. که در آن $\sigma_1, \sigma_2, \dots, \sigma_p$ مؤلفه‌های کوواریانس مجهول و Q_1, \dots, Q_p ماتریس‌های کوفاکتور $m \times m$ مثبت معین متقارن می‌باشند. برآورد مؤلفه‌های کوواریانس به عنوان تعییمی از برآورد وریانس وزن واحد خواهد بود. مؤلفه‌های وریانس در صورتی برآورد می‌شوند که برای مثال، اگر انواع مختلف مشاهدات به‌طور تصادفی وابسته باشند، آنگاه مؤلفه‌های کوواریانس جهت بیان میزان وابستگی مشاهدات برآورد می‌شوند. به عنوان یک شرط لازم، ماتریس‌های کوفاکتور باید به‌طور خطی مستقل باشند. به گونه‌ای که اگر یکی از ماتریس‌های کوفاکتور بتواند به صورت ترکیب خطی از ماتریس‌های کوفاکتور دیگر نوشته شود آنگاه مدل آماری منفرد خواهد شد. نقش ماتریس‌های کوفاکتور جدا کردن خطاهای مختلف و تمایز کردن تأثیر خطاهای مشاهدات مختلف در ماتریس کوواریانس اصلی می‌باشد. از این رو ترکیب خطی تشکیل دهنده ماتریس کوواریانس اصلی به تعداد گروههای مختلف مشاهداتی به تعداد انواع خطاهای

که در آن، ماتریس طرح A_{vh} ماتریسی با ابعاد $\frac{b(b+1)}{b} \times p$ بوداری با بعد y_{vh} و σ بردار مجھولات حاوی مؤلفه‌های مجھول (کو)واریانس با بعد p می‌باشد و به صورت زیر تعریف می‌شوند.

$$A_{vh} =$$

$$[vh(B^T Q_k B) \quad vh(B^T Q_2 B) \dots vh(B^T Q_p B)] \quad (16)$$

$$y_{vh} = vh(\underline{t}t^T - B^T Q_0 B) \quad (17)$$

درجه آزادی مدل تصادفی (۱۴)، برابر $\frac{b(b+1)}{2} - p$ می‌باشد. مدل فوق قادر به حل تمام

عناصر ماتریس کواریانس Q_y به عنوان مجھول نخواهد بود (کمبود درجه آزادی). ماکریم تعداد مجھول قابل حل توسط این مدل مطابق رابطه زیر محاسبه خواهد شد:

$$df = 0 \rightarrow p = \frac{b(b+1)}{2}, \overbrace{\frac{b-m-n}{2}}^{df=0} \\ p = \frac{(m-n)(m-n+1)}{2} \quad (18)$$

برآورد نااریب مربعی مدل (۱۴) مطابق رابطه زیر خواهد شد:

$$\hat{\sigma} = (A_{vh}^T W_{vh} A_{vh})^{-1} A_{vh}^T W_{vh} y_{vh} = N^{-1} \underline{l} \quad (19)$$

که در آن ماتریس N ، ماتریس نرمال به شکل $n = (A_{vh}^T W_{vh} A_{vh})^{-1}$ و بردار مشاهدات \underline{l} به شکل $\underline{l} = A_{vh}^T W_{vh} y_{vh}$ می‌باشد. معادله (۱۹) را می‌توان به فرم ماتریسی زیر بازنویسی کرد:

$$\begin{bmatrix} \hat{\sigma}_1 \\ \hat{\sigma}_2 \\ \vdots \\ \hat{\sigma}_p \end{bmatrix} = \begin{bmatrix} n_{11} & n_{12} & \dots & n_{1p} \\ n_{21} & n_{22} & \dots & n_{2p} \\ \vdots & \vdots & \ddots & \vdots \\ n_{1p} & n_{2p} & \dots & n_{pp} \end{bmatrix} \begin{bmatrix} l_1 \\ l_2 \\ \vdots \\ l_p \end{bmatrix} \quad (20)$$

که در آن:

$$n_{ij} = vh(B^T Q_i B)^T W_{vh} vh(B^T Q_i B) \\ l_i = vh(B^T Q_i B)^T W_{vh} vh(\underline{t}t^T - B^T Q_0 B) \quad (21)$$

لازم به ذکر است، هر ماتریس معین-مثبتی می‌تواند در نقش ماتریس وزن W_{vh} با ابعاد $\frac{b(b+1)}{2} \times \frac{b(b+1)}{2}$ در رابطه (۱۹) ظاهر می‌شود. در صورتی که ماتریس وزن W_{vh}

مجھولات xx^T می‌توان استفاده کرد. همچنین معادله دوم سیستم معادلات (۱۱) نیز تنها ناهمبستگی بردارهای \underline{x} را نشان می‌دهد ($Q_{\underline{x}\underline{x}^T} = 0$). بنابراین معادله سوم از رابطه (۱۱) معادله اصلی ما است. با جایگذاری $Q_y = Q_0 + \sum_{k=1}^p \sigma_k Q_k$ در معادله سوم سیستم معادلات (۱۱) خواهیم داشت:

$$E(\underline{t}\underline{t}^T) - B^T Q_0 B = \sum_{k=1}^p \sigma_k B^T Q_k B \quad (12)$$

به طریق مشابه، تبدیل نامنفرد $\underline{y}' = T\underline{y}$ (رابطه (۸))، به بخش مدل تابعی رابطه (۳) نیز اعمال خواهد شد. بنابراین سیستم معادلات مشاهدات (۳) پس از تبدیل نامنفرد رابطه (۸) به شکل زیر خواهد شد.

$$E(\underline{t}) = 0; E(\underline{t}\underline{t}^T) - B^T Q_0 B = \\ \sum_{k=1}^p \sigma_k Q_k B \quad (13)$$

توجه شود که بخش مدل تابعی سیستم معادلات مشاهدات (۱۳) دارای هیچ مجھولی نمی‌باشد. از طرفی چون $\underline{t} = B^T \underline{y}$ معلوم می‌باشد، سمت چپ بخش مدل تصادفی $E(\underline{t}\underline{t}^T)$ نیز معلوم بوده و تنها مجھول آن بردار $\sigma = [\sigma_1 \sigma_2 \dots \sigma_p]^T$ می‌باشد. تنها مشکل رابطه (۱۳) ماتریسی بودن مشاهدات $(\underline{t}\underline{t}^T)$ می‌باشد، برای حل این مشکل، می‌توان از عملگر vh برای تبدیل ماتریس متقارن $b \times b$ با ابعاد $\underline{t}\underline{t}^T$ به بردار استفاده کرد، که در آن درجه آزادی مدل تابعی و برابر $m - n$ می‌باشد. عملگر vh بر روی ماتریس متقارن عمل کرده و آن ماتریس را تبدیل به یک بردار می‌کند. به دو طرف رابطه (۱۳) عملگر vh را اعمال می‌کنیم. با توجه به این که هر دو عملگر vh و امیدریاضی، عملگرهای خطی می‌باشند، تعویض ترتیب آنها مشکلی ایجاد نمی‌کند. در این صورت خواهیم داشت:

$$E(vh(\underline{t}\underline{t}^T - B^T Q_0 B)) = \\ \sum_{k=1}^p \sigma_k vh(B^T Q_k B); Q_{vh} \text{ or } w_{vh} \quad (14)$$

رابطه بالا را می‌توان به فرم ماتریسی زیر در نظر گرفت:

$$E(y_{vh}) = Q_{vh} \sigma; Q_{vh} \text{ or } w_{vh} \quad (15)$$

در رابطه (۲۴) و p_A^\perp تصویرگرهاي هستند که به ترتیب بر روی فضای برد ماتریس A و فضای مکمل معتمد فضای برد ماتریس A تصویر می‌کنند. اگر طرفین رابطه (۲۴) از سمت چپ در W_y ضرب شود، خواهیم داشت:

$$Bw_t B^T = W_y p_A^\perp \quad (25)$$

اگر رابطه (۲۵) را در معادله به دست آمده از مدل شرط $(n_{ij} = \text{tr}(B^T Q_i B w_t B^T Q_j B w_t))$ جایگزین کنیم خواهیم داشت:

$$n_{ij} = \text{tr}(B^T Q_i W_y p_A^\perp Q_j B w_t) \quad (26)$$

با توجه به این که می‌دانیم $\text{tr}(xy) = \text{tr}(yx)$ رابطه (۲۶) را می‌توان به شکل زیر نوشت:

$$\begin{aligned} n_{ij} &= \text{tr}(Q_i W_y p_A^\perp Q_j B w_t B^T) \\ &= \text{tr}(Q_i W_y p_A^\perp Q_j W_y p_A^\perp) \end{aligned} \quad (27)$$

به طریق مشابه برای بردار مشاهدات l داریم:
 $l_i = \underline{t}^T W_t B^T Q_i B w_t \underline{t} -$
 $\text{tr}(Q_0 W_y p_A^\perp W_y p_A^\perp) \quad (28)$

از طرفی می‌دانیم، بردار باقی مانده‌های سرشکن شده $\hat{\underline{t}}$ از رابطه زیر محاسبه خواهد شد:

$$\hat{\underline{t}} = p_A^\perp y \quad (29)$$

با استفاده از رابطه (۲۴) و (۲۹) می‌توان این گونه نوشت:

$$\hat{\underline{t}} = W_y^{-1} B w_t B^T y = W_y^{-1} B w_t \underline{t} \quad (30)$$

حال دو طرف رابطه (۳۰) را از سمت چپ در W_y ضرب می‌کنیم. خواهیم داشت:

$$B w_t \underline{t} = W_y \hat{\underline{t}} \quad (31)$$

با استفاده از رابطه (۳۱)، رابطه (۲۸) را می‌توان به شکل رابطه زیر بازنویسی کرد.

$$l_i = \hat{\underline{t}}^T W_y Q_i W_y \hat{\underline{t}} - \text{tr}(Q_0 W_y p_A^\perp W_y p_A^\perp) \quad (32)$$

برای رسیدن به جواب ناریب کمترین واریانس، کافی است $w_y = \frac{1}{\sqrt{2}} q_y^{-1}$ اختیار شود. در این

برابر با معکوس ماتریس کواریانس Q_{vh} انتخاب شود، برآورد (۱۹)، علاوه بر خاصیت ناریب مربعی، خاصیت کمترین واریانس را نیز خواهد داشت. در واقع این برآورد به بهترین برآورد مربعی منجر خواهد شد.

برای رسیدن به بهترین (کمترین واریانس) جواب ناریب مربعی کافی است ماتریس وزن به صورت زیر در نظر گرفته شود (امیری سیمکوبی، ۲۰۰۷): با در نظر گرفتن ماتریس وزن به صورت $W_t = \frac{1}{\sqrt{2}} Q_t^{-1}$ ، آنگاه روابط ذکر شده برای n_{ij} و \underline{l} به صورت زیر محاسبه خواهد شد:

$$\begin{aligned} \underline{n}_{ij} &= \frac{1}{2} \text{tr}(B^T Q_i B Q_t^{-1} B^T Q_j B Q_t^{-1}) \\ \underline{l}_i &= \frac{1}{2} \underline{t}^T Q_t^{-1} B^T Q_i B Q_t^{-1} \underline{t} - \\ &\quad \frac{1}{2} \text{tr}(B^T Q_i B Q_t^{-1} B^T Q_0 B Q_t^{-1}) \end{aligned} \quad (22)$$

در رابطه (۲۲) عملگر tr نشان‌دهنده Trace یک ماتریس می‌باشد که به معنی مجموع عناصر قطری آن ماتریس می‌باشد و ماتریس‌های Q_i و Q_j ماتریس وزن مربوط به هر دسته مشاهدات مورد استفاده می‌باشد. در نهایت مؤلفه‌های مجهول کو-واریانس با استفاده از روش حل تکراری و از رابطه $\underline{l} = N^{-1} \hat{\underline{t}}$ محاسبه خواهد شد.

تا کنون فرمول‌های روش برآورد مؤلفه‌های واریانس کمترین مربعات بر حسب مدل شرط (ماتریس B) ارائه شدند. اما از آنجایی که در عمدۀ مسائل نقشه‌برداری با مدل پارامتریک سر و کار داریم، در این قسمت به بررسی روابط مربوطه بر حسب مدل پارامتریک پرداخته می‌شود. برای ارائه روابط مربوط به روش برآورد مؤلفه‌های واریانس کمترین مربعات بر حسب مدل پارامتریک از اتحاد زیر استفاده می‌شود:

$$\begin{aligned} A(A^T W_y A)^{-1} A^T W_y + \\ W_y^{-1} B(B^T W_y^{-1} B)^{-1} B^T = I_m \end{aligned} \quad (23)$$

که در آن W_y ماتریس وزن مشاهدات می‌باشد. رابطه (۲۳) را می‌توان به شکل زیر بازنویسی کرد:

$$\begin{aligned} W_y^{-1} B w_t B^T &= \\ I_m - A(A^T W_y A)^{-1} A^T W_y &= \\ I_m - p_A &= p_A^\perp \end{aligned} \quad (24)$$

۲-۲. مدل تابعی کمترین مربعات (Functional model of LS)

برای حل معادلات مشاهدات با قیود سخت از مدل تابعی زیر استفاده می‌شود (تیونیسن ۲۰۰۰):

$$E(y) = Ax; B^T x = 0; D(y) = Q_y \quad (34)$$

در رابطه (۳۴) E و D به ترتیب عملگرهای امید ریاضی و پراکنده‌گی مشاهدات می‌باشند، Q_y ماتریس کواریانس مشاهدات با ابعاد $m \times m$ ، y یک بردار m بعدی از مشاهدات، x یک بردار n بعدی از پارامترهای مجهول، A ماتریس طرح با ابعاد $n \times m$ و B ماتریس قیود با ابعاد $n \times q$ می‌باشد. معادلات مشاهدات (۳۴) را می‌توان به شکل معادل به صورت زیر بازنویسی کرد:

$$E(y) = AB^\perp \lambda; D(y) = Q_y \quad (35)$$

در رابطه (۳۵)، B^\perp یک ماتریس پایه برای فضای پوچ ماتریس B (با شرط $B^T B^\perp = 0$) و λ یک بردار با ابعاد $n - q$ می‌باشد. $\hat{\lambda}$ برآورد کمترین مربعات λ به صورت زیر می‌باشد:

$$\hat{\lambda} = (B^{\perp T} A^T Q_y^{-1} A B^\perp)^{-1} B^{\perp T} A^T Q_y^{-1} y \quad (36)$$

در نهایت \hat{x} برآورد کمترین مربعات x به صورت زیر در نظر گرفته می‌شود (تیونیسن ۲۰۰۰):

$$\hat{x} = B^\perp \hat{\lambda} \quad (37)$$

۳. نتایج عددی

داشتن یک منطقه واقعی برای در نظر گرفتن نتایج قابل قبول بسیار مهم می‌باشد. برای این هدف مشاهدات یک سد در دو مرحله مورد استفاده قرار گرفته است. به علت وجود گسل‌های زلزله خیز در منطقه سد وجود یک شبکه برای پایش دائمی آنها در نظر گرفته شده است. با توجه به اهمیتی که این سازه‌ها در این مناطق دارا می‌باشند، مطالعه در مورد لغزش‌ها از اهمیت بالایی برخوردار می‌باشد. بر اساس اندازه منطقه و اهداف مورد نیاز، یک شبکه ژئودتیک برای این مناطق انتخاب

صورت فرمول‌های نهایی برآوردگر کمترین مربعات وزن‌دار در مدل پارامتریک به شکل زیر محاسبه خواهند شد:

$$\begin{aligned} n_{ij} &= \frac{1}{2} \text{tr}(Q_i Q_y^{-1} p_A^\perp Q_j Q_y^{-1} p_A^\perp) \\ l_i &= \frac{1}{2} \hat{\lambda}^T Q_y^{-1} Q_i Q_y^{-1} \hat{\lambda} - \frac{1}{2} \text{tr}(Q_0 Q_y^{-1} p_A^\perp Q_y^{-1} p_A^\perp) \\ \hat{\sigma} &= N^{-1} \end{aligned} \quad (33)$$

که در آن P^\perp ماتریس تصویرگر قائم می‌باشد که از رابطه (۲۴) محاسبه می‌شود، N ماتریس نرمال است که مؤلفه‌های آن را n_{ij} ها تشکیل می‌دهند، l برداری است که مؤلفه‌های آن را n_{il} ها تشکیل می‌دهند. معکوس ماتریس نرمال N ماتریس کواریانس پارامترهای برآورده شده را بدست می‌دهد. Q_y ماتریس کواریانس مشاهدات، Q_i و Q_j ماتریس‌های کوفاکتور، y بردار مشاهدات و A ماتریس ضرایب می‌باشد.

الگوریتم برآورد مؤلفه‌های کواریانس کمترین مربعات در مدل پارامتریک

ورودی:

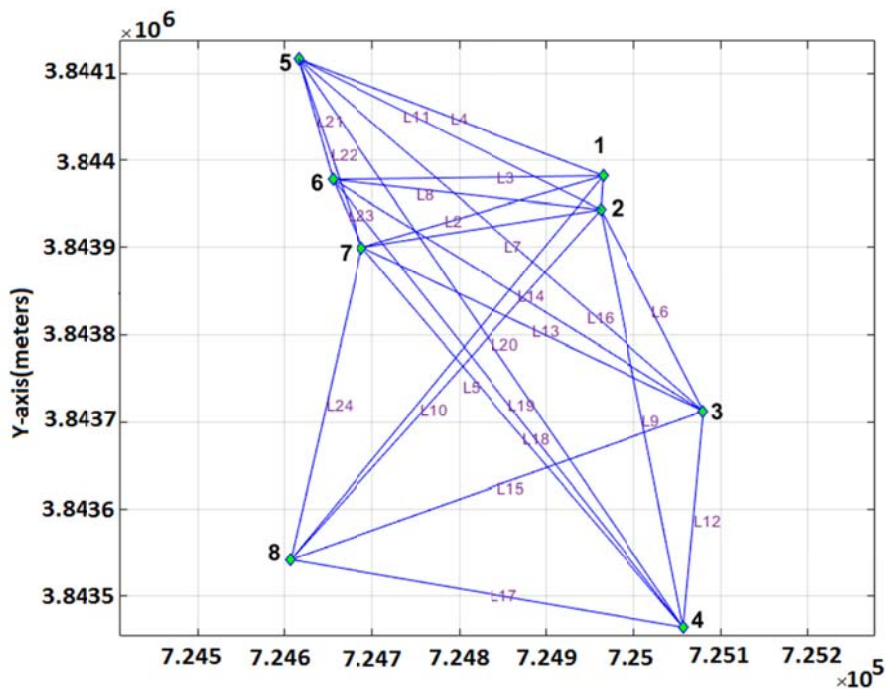
- * ماتریس A معادلات پارامتریک
- * بردار مشاهدات y
- * ماتریس‌های کوفاکتور Q_k به ازای $k = 1, \dots, p$
- * مقادیر اولیه مؤلفه‌های کواریانس $Q_p = [\sigma_1^0, \dots, \sigma_p^0]$
- * مقدار کوچکی برای ϵ

شروع:

- * بررسی عدم وجود خطاهای فاحش در مشاهدات
- * محاسبه ماتریس کواریانس مشاهدات
- $Q_y = Q_0 + \sum_{k=1}^p \sigma_k Q_k$
- * محاسبه معکوس ماتریس Q_y
- * محاسبه بردار باقیمانده‌های کمترین مربعات $\hat{\theta} = P_A^\perp y$
- * محاسبه عناصر ماتریس نرمال N و بردار 1
- * محاسبه مقدار جدید $\hat{\theta}$ به عنوان مؤلفه‌های کواریانس
- * تکرار روند محاسبات تا برقراری شرط $\|\sigma^i - \sigma^{i-1}\| < \epsilon$
- * استخراج $\hat{\theta}$ از آخرین تکرار

این تحقیق نشان داده شده است. در جدول (۱) ویژگی‌ها و خصوصیات مربوط به روش سرشکنی مورد استفاده برای شبکه خارج سد ارائه شده است. در جدول (۲) لیست مشاهدات فاصله‌ای و مشاهدات امتدادی نشان داده شده است.

شده است. شبکه‌های مربوط به سد دارای ۸ ایستگاه می‌باشد. مشاهدات شامل ۲۴ مشاهده فاصله و ۴۶ مشاهده امتداد می‌باشند. درجه آزادی شبکه برابر $df = 24 + 46 + 3 - 24 = 49$ می‌باشد. در شکل ۱ موقعیت ایستگاه‌های شبکه خارج سد مورد مطالعه در



شکل ۱. موقعیت ایستگاه‌ها به همراه مشاهدات فاصله‌ای.

جدول ۱. ویژگی‌های مربوط به سرشکنی شبکه خارج سد.

| | |
|--------------------|-------------------------|
| ۸ | تعداد ایستگاه‌ها |
| ۰ | کمبود مرتبه شبکه |
| ۷ | تعداد ایستگاه‌های مجھول |
| ۷۰ | تعداد کل مشاهدات |
| ۲۴ | تعداد مشاهدات فاصله |
| ۴۶ | تعداد مشاهدات امتداد |
| Constraint Minimum | روش سرشکنی |
| ۴۹ | درجه آزادی |

جدول ۲. مشاهدات برداشت شده در شبکه ژئودتیک مورد استفاده در سد.

| شماره مشاهده | مشاهده طول (متر) | | | مقدار اولیه انحراف معیار | شماره مشاهده | مشاهده طول (متر) | | | مقدار اولیه انحراف معیار |
|--------------|------------------------|----|---------|--------------------------|--------------|------------------------|----|---------|--------------------------|
| | از | به | مقدار | | | از | به | مقدار | |
| ۱ | ۱ | ۲ | ۳۶/۹۸۵ | ۱/۰۳ | ۱۳ | ۳ | ۷ | ۴۲۳/۸۲۷ | ۱/۴۳ |
| ۲ | ۱ | ۷ | ۲۸۵/۷۱۲ | ۱/۲۹ | ۱۴ | ۳ | ۶ | ۵۰۱/۸۱۸ | ۱/۵۰ |
| ۳ | ۱ | ۶ | ۳۰۹/۴۳۹ | ۱/۳۱ | ۱۵ | ۳ | ۸ | ۵۰۵/۷۱۰ | ۱/۵۰ |
| ۴ | ۱ | ۵ | ۳۶۳/۶۸۷ | ۱/۳۷ | ۱۶ | ۳ | ۵ | ۶۲۴/۱۴۸ | ۱/۶۲ |
| ۵ | ۱ | ۸ | ۵۶۶/۳۳۵ | ۱/۰۷ | ۱۷ | ۴ | ۸ | ۴۵۶/۳۷۷ | ۱/۴۶ |
| ۶ | ۲ | ۳ | ۲۵۸/۶۸۵ | ۱/۲۶ | ۱۸ | ۴ | ۷ | ۵۷۵/۱۲۷ | ۱/۵۷ |
| ۷ | ۲ | ۷ | ۲۷۶/۶۱۳ | ۱/۲۸ | ۱۹ | ۴ | ۶ | ۶۴۲/۷۱۲ | ۱/۶۵ |
| ۸ | ۲ | ۶ | ۳۰۵/۸۲۳ | ۱/۳۱ | ۲۰ | ۴ | ۵ | ۷۸۷/۰۰۱ | ۱/۷۹ |
| ۹ | ۲ | ۴ | ۴۸۷/۷۰۹ | ۱/۴۹ | ۲۱ | ۵ | ۶ | ۱۴۴/۱۴۷ | ۱/۱۱ |
| ۱۰ | ۲ | ۸ | ۵۲۵/۰۲۱ | ۱/۰۴ | ۲۲ | ۵ | ۷ | ۲۲۸/۴۴۲ | ۱/۲۳ |
| ۱۱ | ۲ | ۵ | ۳۷۷/۱۱۰ | ۱/۳۹ | ۲۳ | ۶ | ۷ | ۴۸/۷۶۱ | ۱/۰۸ |
| ۱۲ | ۳ | ۴ | ۲۴۹/۳۶۶ | ۱/۲۵ | ۲۴ | ۷ | ۸ | ۳۶۶/۶۰۴ | ۱/۳۷ |
| شماره مشاهده | مشاهده امتداد (داریان) | | | مقدار اولیه انحراف معیار | شماره مشاهده | مشاهده امتداد (داریان) | | | مقدار اولیه انحراف معیار |
| | از | به | مقدار | | | از | به | مقدار | |
| ۱ | ۱ | ۷ | ۰ | ۰/۸ | ۲۴ | ۴ | ۸ | ۵/۶۸۵۹ | ۰/۸ |
| ۲ | ۱ | ۶ | ۰/۲۶۵۵ | ۰/۸ | ۲۵ | ۵ | ۳ | ۰ | ۰/۸ |
| ۳ | ۱ | ۵ | ۰/۶۵۶۲ | ۰/۸ | ۲۶ | ۵ | ۴ | ۰/۲۶۱۴ | ۰/۸ |
| ۴ | ۱ | ۲ | ۵۱/۰۶۶۷ | ۰/۸ | ۲۷ | ۵ | ۷ | ۰/۵۳۰۸ | ۰/۸ |
| ۵ | ۱ | ۸ | ۵/۶۷۴۰ | ۰/۸ | ۲۸ | ۵ | ۶ | ۰/۵۷۸۸ | ۰/۸ |
| ۶ | ۲ | ۷ | ۰ | ۰/۸ | ۲۹ | ۵ | ۲ | ۶/۰۳۳۲ | ۰/۸ |
| ۷ | ۲ | ۶ | ۰/۲۵۹۱ | ۰/۸ | ۳۰ | ۶ | ۴ | ۰ | ۰/۸ |
| ۸ | ۲ | ۵ | ۰/۹۳۰۹ | ۰/۸ | ۳۱ | ۶ | ۷ | ۰/۲۴۶۲ | ۰/۸ |
| ۹ | ۲ | ۱ | ۱/۷۷۲۵ | ۰/۸ | ۳۲ | ۶ | ۱ | ۰/۳۶۳۳ | ۰/۸ |
| ۱۰ | ۲ | ۳ | ۴/۳۸۴۲ | ۰/۸ | ۳۳ | ۶ | ۲ | ۰/۴۶۹۴ | ۰/۸ |
| ۱۱ | ۲ | ۴ | ۴/۶۸۲۸ | ۰/۸ | ۳۴ | ۶ | ۳ | ۰/۳۸۳۹ | ۰/۸ |
| ۱۲ | ۲ | ۸ | ۵/۰۵۷۳۶ | ۰/۸ | ۳۵ | ۷ | ۴ | ۰ | ۰/۸ |
| ۱۳ | ۳ | ۷ | ۰ | ۰/۸ | ۳۶ | ۷ | ۸ | ۰/۹۴۶۲ | ۰/۸ |
| ۱۴ | ۳ | ۶ | ۰/۱۲۱۵ | ۰/۸ | ۳۷ | ۷ | ۶ | ۳/۴۲۵۷ | ۰/۸ |
| ۱۵ | ۳ | ۵ | ۰/۲۵۹۸ | ۰/۸ | ۳۸ | ۷ | ۵ | ۳/۰۵۹۱ | ۰/۸ |
| ۱۶ | ۳ | ۲ | ۰/۶۴۰۵ | ۰/۸ | ۳۹ | ۷ | ۱ | ۰/۱۳۵۵ | ۰/۸ |
| ۱۷ | ۳ | ۴ | ۴/۳۵۰۱ | ۰/۸ | ۴۰ | ۷ | ۲ | ۰/۲۶۸۱ | ۰/۸ |
| ۱۸ | ۳ | ۸ | ۵/۴۸۱۶ | ۰/۸ | ۴۱ | ۷ | ۳ | ۰/۸۷۰۱ | ۰/۸ |
| ۱۹ | ۴ | ۷ | ۰ | ۰/۸ | ۴۲ | ۸ | ۳ | ۰ | ۰/۸ |
| ۲۰ | ۴ | ۶ | ۰/۰۳۷۷ | ۰/۸ | ۴۳ | ۸ | ۴ | ۰/۵۱۷۳ | ۰/۸ |
| ۲۱ | ۴ | ۵ | ۰/۱۱۷۲ | ۰/۸ | ۴۴ | ۸ | ۷ | ۰/۲۸۲۴ | ۰/۸ |
| ۲۲ | ۴ | ۲ | ۰/۰۰۵۱ | ۰/۸ | ۴۵ | ۸ | ۱ | ۰/۷۴۰۹ | ۰/۸ |
| ۲۳ | ۴ | ۳ | ۰/۷۹۴۵ | ۰/۸ | ۴۶ | ۸ | ۲ | ۰/۷۸۳۱ | ۰/۸ |

فاصله‌ای و زاویه‌ای به ترتیب ۱ میلی‌متر و ۰/۸ ثانیه می‌باشد. در این جدول مقادیر اعداد آزادی مربوط به مشاهدات طول و زاویه ارائه شده است. مقدار اعداد آزادی از ۳۸ و ۴۰ (حداقل مقدار) تا ۸۶ و ۶۰ (حداکثر مقدار) متغیر می‌باشد.

آنالیز شبکه مورد نظر توسط سرشکنی با قیود داخلی انجام شده است. در جدول (۳) و (۴) دقت اولیه و دقت برآورده شده توسط روش LS-VCE برای مشاهدات فاصله‌ای و مشاهدات زاویه‌ای ارائه داده شده است. همان‌طور که در جدول (۳) و (۴) دیده می‌شود، دقت اولیه مشاهدات

جدول ۳. مقایسه بین انحراف معیار و اعداد آزادی در دو حالت استفاده از وزن‌های مختلف برای مشاهدات فاصله‌ای.

| شماره مشاهده | مشاهده طول | | مقدار اولیه $\sigma(mm)$ | مقدار بهینه | | | |
|--------------|------------|----|-----------------------------|---|-------------------------------------|--|------------------------------|
| | از | به | | $\sigma(mm): used\ of:$ $\hat{\sigma} = \frac{V^T PV}{df}$ | $\sigma(mm): used\ of:$ LS – VCE | $r_i: used\ of:$ $\hat{\sigma} = \frac{V^T PV}{df}$ | $r_i: used\ of:$ LS – VCE |
| ۱ | ۱ | ۲ | ۱/۰۳۱ | ۰/۵۸۵ | ۰/۲۶۷ | ۰/۶۱۲۹ | ۰/۲۵۴۲ |
| ۲ | ۱ | ۷ | ۱/۲۸۸ | ۰/۴۵۱ | ۰/۲۱۶ | ۰/۸۰۲۵ | ۰/۶۸۵۳ |
| ۳ | ۱ | ۶ | ۱/۳۰۹ | ۰/۴۶۵ | ۰/۲۲۱ | ۰/۸۴۸۴ | ۰/۶۸۳۸ |
| ۴ | ۱ | ۵ | ۱/۳۷۴ | ۰/۵۶۶ | ۰/۲۶۳ | ۰/۷۹۵۴ | ۰/۵۹۰۹ |
| ۵ | ۱ | ۸ | ۱/۰۶۶ | ۰/۷۱۵ | ۰/۲۹۳ | ۰/۷۴۹۳ | ۰/۶۰۹۹ |
| ۶ | ۲ | ۳ | ۱/۲۵۹ | ۰/۶۳۴ | ۰/۲۶۴ | ۰/۶۹۴۹ | ۰/۵۱۰۴ |
| ۷ | ۲ | ۷ | ۱/۲۷۷ | ۰/۴۲۵ | ۰/۲۱۲ | ۰/۸۶۶۵ | ۰/۶۹۳۴ |
| ۸ | ۲ | ۶ | ۱/۳۰۹ | ۰/۴۶۴ | ۰/۲۱۲ | ۰/۸۴۸۷ | ۰/۷۰۶۷ |
| ۹ | ۲ | ۴ | ۱/۴۸۸ | ۰/۶۶۸ | ۰/۲۹۰ | ۰/۷۵۷۵ | ۰/۵۷۷۱ |
| ۱۰ | ۲ | ۸ | ۱/۰۳۵ | ۰/۶۰۰ | ۰/۲۷۴ | ۰/۷۸۴۵ | ۰/۶۴۴۷ |
| ۱۱ | ۲ | ۵ | ۱/۳۸۷ | ۰/۵۰۰ | ۰/۲۴۳ | ۰/۸۰۷۴ | ۰/۶۰۹۲ |
| ۱۲ | ۳ | ۴ | ۱/۲۴۹ | ۰/۷۲۷ | ۰/۳۰۲ | ۰/۵۹۲۲ | ۰/۳۴۹۵ |
| ۱۳ | ۳ | ۷ | ۱/۴۳۴ | ۰/۵۰۸ | ۰/۲۵۴ | ۰/۸۱۸۰ | ۰/۶۵۰۰ |
| ۱۴ | ۳ | ۶ | ۱/۰۰۱ | ۰/۶۰۴ | ۰/۲۵۱ | ۰/۸۰۵۴ | ۰/۶۸۹۱ |
| ۱۵ | ۳ | ۸ | ۱/۰۰۳ | ۰/۶۷۷ | ۰/۳۲۷ | ۰/۷۰۰۷ | ۰/۴۷۲۳ |
| ۱۶ | ۳ | ۵ | ۱/۶۱۶ | ۰/۶۶۲ | ۰/۲۶۰ | ۰/۷۹۸۲ | ۰/۷۱۲۳ |
| ۱۷ | ۴ | ۸ | ۱/۴۵۷ | ۰/۷۷۳ | ۰/۳۶۶ | ۰/۶۶۱۵ | ۰/۲۹۶۶ |
| ۱۸ | ۴ | ۷ | ۱/۰۷۱ | ۰/۶۲۲ | ۰/۲۶۶ | ۰/۸۱۱۲ | ۰/۶۸۰۴ |
| ۱۹ | ۴ | ۶ | ۱/۶۰۲ | ۰/۶۶۵ | ۰/۲۷۱ | ۰/۸۰۴۹ | ۰/۶۹۹۲ |
| ۲۰ | ۴ | ۵ | ۱/۷۸۸ | ۰/۷۰۲ | ۰/۲۶۹ | ۰/۸۱۴۵ | ۰/۷۴۷۸ |
| ۲۱ | ۵ | ۶ | ۱/۱۴۳ | ۰/۶۲۳ | ۰/۲۵۵ | ۰/۶۴۲۵ | ۰/۴۴۷۴ |
| ۲۲ | ۵ | ۷ | ۱/۲۲۸ | ۰/۶۰۱ | ۰/۲۵۱ | ۰/۷۱۱۹ | ۰/۵۳۲۸ |
| ۲۳ | ۶ | ۷ | ۱/۰۸۵ | ۰/۵۴۵ | ۰/۲۳۳ | ۰/۶۹۵۶ | ۰/۴۸۵۳ |
| ۲۴ | ۷ | ۸ | ۱/۳۶۷ | ۰/۷۱۲ | ۰/۳۲۴ | ۰/۶۷۳۳ | ۰/۳۷۵۴ |

جدول ۴. مقایسه بین انحراف معیار و اعداد آزادی در دو حالت استفاده از وزن‌های مختلف برای مشاهدات امندادی.

| شماره مشاهده | مشاهده امنداد | | مقدار اوایله | مقدار بهینه | | | |
|--------------|---------------|----|--------------|---------------|---|-----------------------------------|---|
| | از | به | | $\sigma(sec)$ | $\sigma(sec): used\ of: \hat{\sigma} = \frac{V^T PV}{df}$ | $\sigma(sec): used\ of: LS - VCE$ | $r_i: used\ of: \hat{\sigma} = \frac{V^T PV}{df}$ |
| ۱ | ۷ | ۱ | ۰/۸ | ۰/۴۱ | ۰/۴۴ | ۰/۶۷۹۰ | ۰/۷۶۷۰ |
| ۲ | ۶ | ۱ | ۰/۸ | ۰/۴۳ | ۰/۴۵ | ۰/۶۰۵۶ | ۰/۷۶۰۴ |
| ۳ | ۵ | ۱ | ۰/۸ | ۰/۴۳ | ۰/۴۶ | ۰/۶۰۰۲ | ۰/۷۴۸۹ |
| ۴ | ۲ | ۱ | ۰/۸ | ۰/۵۶ | ۰/۶۶ | ۰/۴۰۱۲ | ۰/۴۸۳۵ |
| ۵ | ۸ | ۱ | ۰/۸ | ۰/۴۳ | ۰/۴۶ | ۰/۶۰۶۴ | ۰/۷۵۰۰ |
| ۶ | ۷ | ۸ | ۰/۸ | ۰/۴۰ | ۰/۳۹ | ۰/۶۹۳۶ | ۰/۸۱۰۷ |
| ۷ | ۶ | ۲ | ۰/۸ | ۰/۴۰ | ۰/۳۹ | ۰/۶۹۳۷ | ۰/۸۱۸۱ |
| ۸ | ۵ | ۲ | ۰/۸ | ۰/۴۰ | ۰/۴۰ | ۰/۷۰۳۱ | ۰/۸۱۲۱ |
| ۹ | ۱ | ۲ | ۰/۸ | ۰/۵۷ | ۰/۶۷ | ۰/۳۸۴۰ | ۰/۴۶۴۶ |
| ۱۰ | ۳ | ۲ | ۰/۸ | ۰/۴۶ | ۰/۴۵ | ۰/۵۹۷۶ | ۰/۷۶۶۶ |
| ۱۱ | ۴ | ۲ | ۰/۸ | ۰/۳۸ | ۰/۴۰ | ۰/۷۲۱۵ | ۰/۸۱۱۲ |
| ۱۲ | ۸ | ۲ | ۰/۸ | ۰/۳۸ | ۰/۳۹ | ۰/۷۲۷۷ | ۰/۸۲۲۲ |
| ۱۳ | ۷ | ۳ | ۰/۸ | ۰/۳۴ | ۰/۳۹ | ۰/۷۸۲۲ | ۰/۸۲۲۱ |
| ۱۴ | ۶ | ۳ | ۰/۸ | ۰/۳۴ | ۰/۳۹ | ۰/۷۸۴۰ | ۰/۸۲۰۲ |
| ۱۵ | ۵ | ۳ | ۰/۸ | ۰/۳۵ | ۰/۴۰ | ۰/۷۷۴۲ | ۰/۸۱۳۶ |
| ۱۶ | ۲ | ۳ | ۰/۸ | ۰/۴۳ | ۰/۴۳ | ۰/۶۵۷۰ | ۰/۷۸۷۰ |
| ۱۷ | ۴ | ۳ | ۰/۸ | ۰/۵۲ | ۰/۴۸ | ۰/۴۸۲۳ | ۰/۷۲۷۳ |
| ۱۸ | ۸ | ۳ | ۰/۸ | ۰/۴۰ | ۰/۴۰ | ۰/۶۹۳۰ | ۰/۸۱۱۷ |
| ۱۹ | ۷ | ۴ | ۰/۸ | ۰/۳۲ | ۰/۳۸ | ۰/۸۰۹۲ | ۰/۸۲۸۰ |
| ۲۰ | ۶ | ۴ | ۰/۸ | ۰/۳۲ | ۰/۳۸ | ۰/۸۰۸۴ | ۰/۸۲۶۳ |
| ۲۱ | ۵ | ۴ | ۰/۸ | ۰/۳۳ | ۰/۳۹ | ۰/۷۹۶۰ | ۰/۸۲۰۰ |
| ۲۲ | ۲ | ۴ | ۰/۸ | ۰/۳۳ | ۰/۳۸ | ۰/۷۹۲۰ | ۰/۸۲۷۲ |
| ۲۳ | ۳ | ۴ | ۰/۸ | ۰/۳۴ | ۰/۴۳ | ۰/۶۳۳۴ | ۰/۷۸۳۶ |
| ۲۴ | ۸ | ۴ | ۰/۸ | ۰/۴۲ | ۰/۴۰ | ۰/۶۷۰۹ | ۰/۸۱۰۶ |
| ۲۵ | ۳ | ۵ | ۰/۸ | ۰/۳۹ | ۰/۴۴ | ۰/۷۱۷۳ | ۰/۷۶۹۸ |
| ۲۶ | ۴ | ۵ | ۰/۸ | ۰/۴۰ | ۰/۴۵ | ۰/۷۰۰۳ | ۰/۷۶۰۸ |
| ۲۷ | ۷ | ۵ | ۰/۸ | ۰/۳۸ | ۰/۴۴ | ۰/۷۳۵۴ | ۰/۷۷۲۱ |
| ۲۸ | ۶ | ۵ | ۰/۸ | ۰/۵۲ | ۰/۵۳ | ۰/۴۹۶۴ | ۰/۷۷۲۲ |
| ۲۹ | ۲ | ۵ | ۰/۸ | ۰/۴۰ | ۰/۴۳ | ۰/۶۹۷۲ | ۰/۷۷۷۹ |
| ۳۰ | ۴ | ۶ | ۰/۸ | ۰/۴۰ | ۰/۴۵ | ۰/۶۹۹۸ | ۰/۷۶۴۸ |
| ۳۱ | ۷ | ۶ | ۰/۸ | ۰/۵۲ | ۰/۵۸ | ۰/۴۸۲۳ | ۰/۶۰۰۸ |
| ۳۲ | ۱ | ۶ | ۰/۸ | ۰/۴۵ | ۰/۴۵ | ۰/۶۱۴۹ | ۰/۷۶۱۱ |
| ۳۳ | ۲ | ۶ | ۰/۸ | ۰/۴۰ | ۰/۴۴ | ۰/۶۹۱۷ | ۰/۷۷۴۸ |
| ۳۴ | ۳ | ۶ | ۰/۸ | ۰/۳۹ | ۰/۴۴ | ۰/۷۱۸۵ | ۰/۷۷۲۴ |
| ۳۵ | ۴ | ۷ | ۰/۸ | ۰/۳۷ | ۰/۳۹ | ۰/۷۷۷۸ | ۰/۸۱۸۷ |
| ۳۶ | ۸ | ۷ | ۰/۸ | ۰/۴۷ | ۰/۴۳ | ۰/۵۸۷۴ | ۰/۷۸۲۹ |
| ۳۷ | ۶ | ۷ | ۰/۸ | ۰/۵۵ | ۰/۶۰ | ۰/۴۳۳۱ | ۰/۶۵۹۲ |
| ۳۸ | ۵ | ۷ | ۰/۸ | ۰/۴۷ | ۰/۴۶ | ۰/۵۸۶۹ | ۰/۷۴۶۶ |
| ۳۹ | ۱ | ۷ | ۰/۸ | ۰/۴۵ | ۰/۴۰ | ۰/۶۲۷۶ | ۰/۸۱۱۱ |
| ۴۰ | ۲ | ۷ | ۰/۸ | ۰/۴۰ | ۰/۳۹ | ۰/۶۹۴۷ | ۰/۸۲۰۸ |
| ۴۱ | ۳ | ۷ | ۰/۸ | ۰/۳۸ | ۰/۳۹ | ۰/۷۳۲۹ | ۰/۸۲۰۵ |
| ۴۲ | ۳ | ۸ | ۰/۸ | ۰/۳۸ | ۰/۴۲ | ۰/۷۲۳۳ | ۰/۷۹۲۳ |
| ۴۳ | ۴ | ۸ | ۰/۸ | ۰/۴۳ | ۰/۴۳ | ۰/۶۴۶۳ | ۰/۷۸۱۳ |
| ۴۴ | ۷ | ۸ | ۰/۸ | ۰/۴۱ | ۰/۴۳ | ۰/۶۸۵۸ | ۰/۷۸۴۱ |
| ۴۵ | ۱ | ۸ | ۰/۸ | ۰/۳۶ | ۰/۴۳ | ۰/۷۶۰۲ | ۰/۷۹۲۸ |
| ۴۶ | ۲ | ۸ | ۰/۸ | ۰/۳۵ | ۰/۴۲ | ۰/۷۷۰۲ | ۰/۷۹۶۰ |

دقت مشاهدات فاصله تا ۱ میلی‌متر و در حالت استفاده از برآورد کمترین مربعات مؤلفه وریانس دقت تا $1/5$ میلی‌متر افزایش پیدا کرده است. و برای اعداد آزادی این مشاهدات نیز برآورد واقع‌بینانه‌ای با توجه به دقت مشاهدات به دست آمده است. در جدول (۵) نیز برای مشاهدات امتدادی، انحراف معیار به دست آمده در حالت استفاده از فاکتور وریانس ثانویه و از برآورد کمترین مربعات مؤلفه وریانس دقت تا $1/4$ ثانیه افزایش پیدا کرده است. در جدول (۶) نحوه همگرا شدن واریانس‌های مربوط به مشاهدات فاصله و امتداد در تکرارهای مختلف ارائه شده است.

در جدول (۳) و (۴) نتایج مربوط به روش برآورد کمترین مربعات مؤلفه‌های وریانس نشان داده شده است. ستون چهارم، انحراف معیار اولیه مشاهدات، ستون پنجم و ششم به ترتیب انحراف معیار مشاهدات برای دو حالت استفاده از فاکتور وریانس ثانویه و برآورد کمترین مربعات و ستون هفتم و هشتم به ترتیب مقادیر اعداد آزادی بهینه مشاهدات در دو حالت استفاده از فاکتور وریانس ثانویه و برآورد کمترین مربعات را پس از ده تکرار نشان می‌دهد. با توجه به نتایج ارائه شده در جدول (۳) می‌توان دید که برای مشاهدات فاصله‌ای، انحراف معیار به دست آمده در حالت استفاده از فاکتور وریانس ثانویه باعث بهبودی

جدول ۵. انحراف معیار مربوط به نقاط شبکه سد با دو روش فاکتور وریانس ثانویه و روش برآورد کمترین مربعات مؤلفه وریانس.

| شماره ایستگاه | $\sigma_x(\text{mm}): \text{used of:}$ $\hat{\sigma} = \frac{V^T PV}{df}$ | $\sigma_x(\text{mm}): \text{used of:}$ $LS - VCE$ | $\sigma_y(\text{mm}): \text{used of:}$ $\hat{\sigma} = \frac{V^T PV}{df}$ | $\sigma_y(\text{mm}): \text{used of:}$ $LS - VCE$ |
|---------------|--|--|--|--|
| ۱ | ۰/۲۸ | ۰/۱۳ | ۰/۴۸ | ۰/۲۵ |
| ۲ | ۰/۲۷ | ۰/۱۳ | ۰/۳۴ | ۰/۱۸ |
| ۳ | ۰/۳۶ | ۰/۲۱ | ۰/۴۶ | ۰/۲۰ |
| ۴ | ۰/۴۰ | ۰/۲۲ | ۰/۴۸ | ۰/۲۰ |
| ۵ | ۰/۳۵ | ۰/۲۳ | ۰/۴۶ | ۰/۲۴ |
| ۶ | ۰/۲۸ | ۰/۱۷ | ۰/۴۰ | ۰/۲۱ |
| ۷ | ۰/۲۶ | ۰/۱۷ | ۰/۳۲ | ۰/۱۷ |
| ۸ | ۰/۴۸ | ۰/۲۲ | ۰/۵۷ | ۰/۲۷ |

جدول ۶. تغییرات مؤلفه‌های واریانس برآورد شده در هر مرحله از تکرار.

| تعداد تکرار | مؤلفه واریانس مشاهده طول | مؤلفه واریانس مشاهده امتداد |
|-------------|--------------------------|-----------------------------|
| ۱ | ۰/۱۱۰۹ | ۱/۲۵۶۵ |
| ۲ | ۰/۰۹۳۶ | ۱/۳۰۵۸ |
| ۳ | ۰/۰۹۰۶ | ۱/۳۲۱۲ |
| ۴ | ۰/۰۹۰۶ | ۱/۳۲۴۸ |
| ۵ | ۰/۰۸۹۸ | ۱/۳۲۵۶ |
| ۶ | ۰/۰۸۹۷ | ۱/۳۲۵۸ |
| ۷ | ۰/۰۸۹۷ | ۱/۳۲۵۹ |
| ۸ | ۰/۰۸۹۷ | ۱/۳۲۵۹ |
| ۹ | ۰/۰۸۹۷ | ۱/۳۲۵۹ |
| ۱۰ | ۰/۰۸۹۷ | ۱/۳۲۵۹ |

مختصات نقاط شبکه بهنحوی است که حداقل مقدار نیم قطر اطول بعضی خطای مطلق نقاط در حالت استفاده از برآورد مؤلفه‌های وریانس کمترین مربعات برابر $2/90$ میلی‌متر می‌باشد. و زمانی که از روش فاکتور وریانس ثانویه استفاده می‌شود این مقدار به دو برابر افزایش می‌یابد. علاوه بر این یکی دیگر از شرایط رسیدن به دقت بالاتر در شبکه، مینیمم شدن ($Trace(C_x)$ می‌باشد که در هنگام استفاده از روش برآورد مؤلفه‌های وریانس کمترین مربعات (مقدار آن برابر $8/0$ ثانیه) در مقابل روش فاکتور وریانس ثانویه مقدار آن به اندازه دو برابر کاهش می‌یابد.

۴. نتیجه‌گیری

سدها از جمله سازه‌های مهمی می‌باشند که مراقبت و ایمن‌سازی آنها از اهمیت بالایی برخوردار می‌باشد. به همین دلیل شبکه‌های ژئودتیک برای مانیتور کردن این سازه‌ها استفاده می‌شود. دستگاه مورد استفاده برای اندازه‌گیری مشاهدات طول و زاویه در این تحقیق دستگاه Leica Total Station TCA2003 با دقت $1mm + 1ppm$ می‌باشد. ارزیابی و بهبود قابلیت اطمینان و معیارهای دقت در یک شبکه واقعی بسیار مهم می‌باشد. کیفیت یک شبکه ژئودتیک با پارامترهایی از قبیل دقت و قابلیت اطمینان مشخص می‌شود.

جدول ۷. معیارهای طراحی شبکه شامل نیم قطر بزرگ بیضوی و $Trace(C_x)$ برای شبکه کنترل.

| شماره ایستگاه | $a(\text{mm})$ <i>used of:</i> LS – VCE | $a(\text{mm})$ <i>used of:</i> $\hat{\sigma} = \frac{V^T PV}{df}$ | $Trace(C_x)$: used of: LS – VCE | $Trace(C_x)$: used of: $\hat{\sigma} = \frac{V^T PV}{df}$ |
|------------------|--|--|-------------------------------------|---|
| ۱ | ۰/۲۵ | ۰/۴۸ | | |
| ۲ | ۰/۱۹ | ۰/۳۴ | | |
| ۳ | ۰/۲۳ | ۰/۴۷ | | |
| ۴ | ۰/۲۳ | ۰/۴۸ | | |
| ۵ | ۰/۲۹ | ۰/۴۷ | | |
| ۶ | ۰/۲۱ | ۰/۴۲ | | |
| ۷ | ۰/۱۷ | ۰/۳۴ | | |
| ۸ | ۰/۲۹ | ۰/۵۷ | | |
| | | mm $0/815$ | | mm $1/59$ |

در جدول (۷) انحراف معیار مختصات x و y نقاط شبکه برای دو حالت استفاده از فاکتور وریانس ثانویه و برآورد کمترین مربعات مؤلفه وریانس ارائه شده است. بر اساس این نتایج می‌توان دید که اختلافی در حدود $2/5$ میلی‌متر برای مؤلفه x و $0/3$ میلی‌متر برای مؤلفه y به دست آمده است.

با در نظر گرفتن این نکته که مقدار a به عنوان معیاری از دقت منطقه‌ای نقاط شبکه می‌باشد، جهت بهینه‌سازی شبکه می‌توان بزرگ‌ترین مقدار نصف قطر اطول بیضی خطای مطلق شبکه را مینیمم کرد.

از طرفی معیار دیگری که می‌توان بر اساس آن نتیجه‌ای در مورد دقت شبکه ارائه کرد پارامتر مقدار تریس شبکه می‌باشد به این صورت که کشف مینیمم بودن این پارامتر، معیاری برای دقت بالاتر شبکه خواهد بود. به این دلیل که عناصر قطری بیانگر وریانس‌ها می‌باشند. این عدد معیار نسبتاً خوبی از دقت کل شبکه می‌باشد. در جدول (۷) معیارهای طراحی اولیه شبکه ارائه شده است. که شامل نیم قطر بزرگ بیضی خطای مطلق در سطح $Trace(C_x)$ و مقدار عددی مربوط به $Trace(C_x)$ می‌باشد.

همان‌طور که در جدول مشاهده می‌شود، می‌توان دید که در حالت استفاده از برآورد مؤلفه‌های وریانس به روش کمترین مربعات ابعاد بیضی خطای کاهش یافته است که نشان‌دهنده دقت این روش می‌باشد. این بهبود دقت برای

روش فاکتور وریانس ثانویه مقدار آن به اندازه دو برابر کاهش می‌یابد. در ادامه به برآورد دقت مشاهدات پرداخته شد و در حالت استفاده از روش برآورد مؤلفه‌های واریانس کمترین مربعات مقدرا آن به اندازه 0.5 میلی‌متر بهبود یافته است. با توجه به نتایج ارائه شده، برای مشاهدات فاصله‌ای، انحراف معیار به دست آمده در حالت استفاده از فاکتور وریانس ثانویه باعث بهبودی دقت مشاهدات فاصله تا 1 میلی‌متر و در حالت استفاده از برآورد کمترین مربعات مؤلفه وریانس دقت تا 0.51 میلی‌متر افزایش پیدا کرده است. برای مشاهدات امتدادی نیز، انحراف معیار به دست آمده در حالت استفاده از فاکتور وریانس ثانویه و برآورد کمترین مربعات مؤلفه وریانس دقت تا 0.4 ثانیه افزایش پیدا کرده است. برای اعداد آزادی مشاهدات نیز برآورد واقع‌بینانه‌ای بدست آمد. در واقع مزیت روش برآورد مؤلفه‌های واریانس کمترین مربعات به این صورت می‌باشد که با بدست آوردن پارامترهای وریانس طول و امتداد، برآورد واقع‌بینانه‌ای از دقت پارامترهای مدل و همچنین ابعاد بیضی خطای مطلق را ارائه کرد.

تشکر و قدردانی

نگارندگان بر خود لازم می‌دانند از شرکت طرح نقشه باختر به خاطر تامین مشاهدات سد جهت انجام این پژوهش تشکر می‌نمایند.

مراجع

- Amiri-Simkooei, A. R., 2001, Strategy for Designing Geodetic Network with High Reliability and Geometrical Strength Criteria. Journal of Surveying Engineering, 127(3), 104-117.
- Amiri-Simkooei, A. R., 2004, A New Method for Second-order Design of Geodetic Networks: Aiming at High Reliability. Survey Review, 37(293), 552-560.
- Amiri-Simkooei, A. R., 2007, Least-squares variance component estimation: theory and GPS applications (Doctoral dissertation, TU Delft, Delft University of Technology).
- شبکه ممکن است بسیار دقیق طراحی شده باشد در حالی که ممکن است در همان زمان قابل اعتماد نباشد و بر عکس. بنابراین، این معیارها متفاوت هستند و شبکه باید به گونه‌ای طراحی شود که به طور هم‌زمان هر دو معیار حداکثر دقت و قابلیت اطمینان بالا را دارا باشد. برای رسیدن به بهترین برآورد ناریب خطی (BLUE)، ارائه وزن مناسب برای مشاهدات، الزامی است. برآورد مؤلفه‌های مجھول کوواریانس تحت عنوان component Estimation مختلفی برای VCE وجود دارد. در این تحقیق از دو روش برآورد فاکتور وریانس ثانویه و برآورد مؤلفه وریانس کمترین مربعات استفاده شده است. در روش برآورد مؤلفه وریانس کمترین مربعات به جای این که یک فاکتور واریانس برای ماتریس وزن محاسبه شود، برای هر دسته مشاهداتی مختلف یک ضریب مقیاس محاسبه می‌شود. به این ترتیب وزن دهنده به مشاهدات منطقی و صحیح‌تر انجام شده و در نهایت به برآورد واقع‌بینانه‌ای از مجھولات خواهیم رسید. نتایج نشان داده است که حداکثر مقدار نیم قطر اطول بضی خطا مطلق نقاط در حالت استفاده از برآورد مؤلفه‌های واریانس کمترین مربعات برابر 0.29 میلی‌متر می‌باشد. و زمانی که از روش فاکتور وریانس ثانویه استفاده می‌شود، این مقدار به دو برابر افزایش می‌یابد. علاوه بر این یکی دیگر از شرایط رسیدن به دقت بالاتر در شبکه، مینیمم شدن ($Trace(C_x)$ می‌باشد که در هنگام استفاده از روش برآورد مؤلفه‌های واریانس کمترین مربعات (مقدار آن برابر 0.08 میلی‌متر) در مقابل Amiri-Simkooei, A. R., Asgari, J., Zangeneh-Nejad, F. and Zaminpardaz, S., 2012, Basic concepts of optimization and design of geodetic networks. Journal of Surveying Engineering, 138(4), 172-183.
- Amiri-Simkooei, A. R., Zaminpardaz, S. and Sharifi, M. A., 2014, Extracting tidal frequencies using multivariate harmonic analysis of sea level height time series. Journal of Geodesy, 88(10), 975-988.
- Andersson, J. V., 2008, A complete model for displacement monitoring based on undifferenced GPS observations (Doctoral

- dissertation, KTH).
- Baarda, W., 1968, A testing procedure for use in geodetic networks, Netherland Geodetic Commission, Delft, Netherlands.
- Bagherbandi, M., Eshagh, M. and Sjöberg, L. E., 2009, Multi-objective versus single-objective models in geodetic network optimization. *Nordic Journal of Surveying and Real Estate Research*, 6(1), 7-20.
- Bagherbandi, M., 2016, Deformation monitoring using different least squares adjustment methods: A simulated study. *KSCE Journal of Civil Engineering*, 20(2), 855-862.
- Barnett, V. and Lewis, T., 1974, Outliers in statistical data. Wiley.
- Ben-Gal, I., Maimon, O. and Rockach, L., 2005, Data Mining and Knowledge Discovery Handbook A Complete Guide for Practitioners and Researchers, Kluwer Academic Publishers.
- Chen, Y.Q., Chrzanowski, A. and Secord, J.M., 1990, A strategy for the analysis of the stability of reference points in deformation surveys. *CISM Journal*, 44(2), 39-46.
- Cross, P. A., 1985, Numerical Methods in Network Design. In: Grafarend & Sanso, eds. Optimization and Design of Geodetic Networks. Berlin: Springer, 132-168.
- Davies, L. and Gather, U., 1993, The identification of multiple outliers, *Journal of the American Statistical Association*, 88(423), 782-792.
- Fan, H., 2010, Theory of Errors and Least Squares Adjustment, Stockholm: Royal Institute of Technology (KTH).
- González-Ferreiro, E., Diéguez-Aranda, U. and Miranda, D., 2012, Estimation of stand variables in Pinus radiata D. Don plantations using different LiDAR pulse densities. *Forestry*, 85(2), 281-292.
- Grafarend, E. W., 1974, Optimization of geodetic networks. *Bulletino di Geodesia e Scienze Affini*, 33(4), 351-406.
- Grafarend, E., Kleusberg, A. and Schaffrin, B., 1980, An introduction to the variance-covariance component estimation of Helmert type. *Zeitschrift für Vermessungswesen*, 105(4), 161-180.
- Helmut, F. R., 1907, Die Ausgleichungsrechnung nach der Methode der kleinsten Quadrate: mit Anwendungen auf die Geodäsie, die Physik und die Theorie der Messinstrumente. BG Teubner.
- Hwang, J., Yun, H., Park, S.K., Lee, D. and Hong, S., 2012, Optimal methods of RTK-GPS/accelerometer integration to monitor the displacement of structures. *Sensors*, 12(1), 1014-1034.
- Jin, X. X. and de Jong, C.D., 1996, Relationship between satellite elevation and precision of GPS code observations. *The Journal of Navigation*, 49(2), 253-265.
- Kern, M., Preimesberger, T., Allesch, M., Pail, R., Bouman, J. and Koop, R., 2005, Outlier detection algorithms and their performance in GOCE gravity field processing. *Journal of Geodesy*, 78(9), 509-519.
- Koch, K. R., 1985, First Order Design: Optimization of the Configuration of a Network by Introducing Small Position Changes. In: Grafarend & Sanso, eds. Optimization and Design of Geodetic Networks. Berlin: Springer, pp. 56-73.
- Kuang, S., 1991, Optimization and Design of Deformation Monitoring Schemes, Fredericton, Canada: Department of Surveying Engineering.
- Kuang, S., 1996, Geodetic Network Analysis and Optimal Design: Concepts and Applications. Chelsea, Michigan, USA: Ann Arbor Press, Inc.
- Lerch, F. J., 1991, Optimum data weighting and error calibration for estimation of gravitational parameters. *Bulletin géodésique*, 65(1), 44-52.
- Lindenbergh, R., Pfeifer, N. and Rabbani, T., 2005, September. Accuracy analysis of the Leica HDS3000 and feasibility of tunnel deformation monitoring. In Proceedings of the ISPRS Workshop, Laser scanning, 36(3), 24-29.
- Lucas, J.R. and Dillinger, W.H., 1998, MINQUE for block diagonal bordered systems such as those encountered in VLBI data analysis. *Journal of Geodesy*, 72(6), 343-349.
- Teunissen, P.J., 1988, Towards a least-squares framework for adjusting and testing of both functional and stochastic model. Internal research memo, Geodetic Computing Centre, Delft. A reprint of original 1988 report is also available in 2004, No. 26, <http://www.lr.tudelft.nl/mgp>.
- Teunissen, P.J., 2000, Adjustment theory: an introduction series on mathematical geodesy and positioning. Delft University Press, Washington, D.C.
- Teunissen, P. J. and Amiri-Simkooei, A.R., 2008, Least-squares variance component estimation. *Journal of geodesy*, 82(2), pp.65-82.
- Williams, S. D., Bock, Y., Fang, P., Jamason, P., Nikolaidis, R. M., Prawirodirdjo, L., Miller, M. and Johnson, D. J., 2004, Error analysis of continuous GPS position time series. *Journal of Geophysical Research: Solid Earth*, 109(B3), 1-19.
- Xu, P., Liu, Y., Shen, Y. and Fukuda, Y., 2007, Estimability analysis of variance and covariance components. *Journal of Geodesy*, 81(9), 593-602.

- Yetkin, M. and Inal, C., 2015, Optimal Design of Deformation Monitoring Networks Using the Global Optimization Methods. In The 1st International Workshop on the Quality of Geodetic Observation and Monitoring Systems (QuGOMS'11) (pp. 27-31). Springer, Cham.
- Zhang, J., Bock, Y., Johnson, H., Fang, P., Williams, S., Genrich, J., Wdowinski, S. and Behr, J., 1997, Southern California Permanent GPS Geodetic Array: Error analysis of daily position estimates and site velocities. *Journal of geophysical research: solid earth*, 102(B8), 18035-18055.

Optimized Estimation of Observation Precisions In Classical Displacement Network

Farzaneh, S.^{1*} and Parvazi, K.²

1. Assistant Professor, Department of Surveying and Geomatics Engineering, Faculty of Engineering,
University of Tehran, Tehran, Iran

2. Ph.D. Student Department of Surveying and Geomatics Engineering, Faculty of Engineering,
University of Tehran, Tehran, Iran

(Received: 12 Nov 2018, Accepted: 14 May 2019)

Summary

Any infrastructure such as dams need constant monitoring for the detection of risks of failure and/or to plan civil engineering maintaining work. A recent approach considers precise geodetic instruments and satellite-based geodetic monitoring as a method to estimate potential deformation of such structures. A growing need for a fully automated and continuous monitoring of structural and ground deformations has created new challenges for design and analysis of the monitoring schemes, where multi-sensor geodetic systems can provide essential aid. Combination of different geodetic data helps determining displacements with high precision, hence, the risk of damages is reduced. Corresponding authorities of large man-made structures are faced with the safety problem, as all have aim to reduce risk and cost. Designers try to design large structures to tolerate against different forces like wind, traffic load, temperature, flood, earthquake, land uplift etc. Using geodetic instruments and techniques, we are able to monitor the deformation behavior or deflection in the mentioned structures and eventually provide a structural failure alarm capability (Andersson 2008).

It is important to select appropriate sensor and methods to detect the deformation. Slow deforming dams require sub-millimeter to millimeter level accuracy to monitor the displacement and deformation (Lindenbergh et al. 2005). Reaching this level of accuracy is not costly, if geodetic sensors are integrated with other sensors (e.g. geotechnical sensors, and precise total stations, see Hwang et al. 2012). It might be to implement other sensors (e.g. laser scanner and Total Station). Using point clouds data for deformation monitoring is almost new. Gonzalez et al. (2012) studied on point clouds accuracy for applications in civil engineering e.g. deformation monitoring. They showed that the results appear suitable for deformation monitoring, with accuracies less than 1 mm. Bagherbandi et al. (2009) studied on various techniques to find the optimal design of a deformation network using various criteria such as precision, cost and reliability. Better results can be achieved using the control network, provided that an optimal network design is performed for detecting deformations (Kuang 1996). In addition, the methods of geodetic network process can affect the results (Bagherbandi 2016).

The aim of this study is primarily to evaluate different deformation monitoring methods and possibilities to physically interpret the deformation and evaluate the risk of failures. In this research, the idea of assigning weights for the observations by least square variance components estimation (LS-VCE) is used (Amiri-Simkooei 2007; Teunissen and Amiri-Simkooei 2008) in order to improve accuracy of adjustment results, which differs from the applied method in Bagherbandi (2016) to determine the variance components. Some issues and parameters should be investigated in LS-VCE such as the effect of variance components estimation on the observations final accuracy, the absolute error ellipsoid estimation, the study of the necessary conditions in a network to achieve higher accuracy and its effect on obtaining real results from the reliability matrix. All results obtained from adjustment by element, LS-VCE, and Tikhonov regularization are compared using a simulated geodetic network and real data. Results from this study provide important information in studying deformation that can be used to interpret the deformation mechanism, which may reduce the risk of potential disasters in large structures. We will evaluate the above-mentioned methods in Jamishan dam in Iran and utilize the geodetic techniques and observations to monitor the deformation of the dam.

Keywords: Geodetic Network, least squares variance component estimation, Deformation.

*Corresponding author:

farzaneh@ut.ac.ir